

Ni-M(M=Cu, Zn, Ce)/C 双金属催化剂上的乙醇气相羰化

章 青¹ 王会芳¹ 孙果宋² 黄科林² 方维平¹ 杨意泉^{*1}

(¹ 厦门大学化学化工学院, 厦门 361005)

(² 广西化工研究院, 南宁 530001)

摘要: 利用等体积浸渍法制备了 NiM_{0.2}(M=Cu, Zn, Ce)/C 双金属催化剂及 Ni/C 催化剂, 考察了其乙醇气相羰化制丙酸的活性。结果表明, 4 种催化剂的活性大小顺序为 NiCe_{0.2}/C>Ni/C>NiCu_{0.2}/C>NiZn_{0.2}/C, 催化剂 NiCe_{0.2}/C 的羰化活性最高, 乙醇转化率和丙酸的选择性分别为 98.0% 和 95.1%, 而催化剂 NiZn_{0.2}/C 的羰化活性最低, 乙醇转化率和丙酸选择性分别为 83.6% 和 75.8%。通过对催化剂的金属分散度、XRD、H₂-TPR 和 CO-TPD 等表征结果的分析, 发现 CeO₂ 与镍物种之间存在协同作用, 从而降低 NiO 的还原温度, 有效防止镍晶粒的长大, 并提高了镍物种在活性炭表面的分散度。

关键词: 乙醇; 活性炭; 气相羰化; 助剂; 丙酸

中图分类号: O643.3 文献标识码: A 文章编号: 1001-4861(2009)08-1384-05

Vapor Phase Carbonylation of Ethanol over Ni-M(M=Cu, Zn, Ce)/C Catalysts

ZHANG Qing¹ WANG Hui-Fang¹ SUN Guo-Song² HUANG Ke-Lin²

FANG Wei-Ping¹ YANG Yi-Quan^{*1}

(¹College of Chemistry and Chemical Engineering, Xiamen University, Xiamen, Fujian 361005)

(²Guangxi Research Institute of Chemical Industry, Nanning 530001)

Abstract: A series of NiM_{0.2}(M=Cu, Zn, Ce)/C and Ni/C catalysts were prepared by isometric impregnation method for vapor phase carbonylation of ethanol. The activity testing results revealed that the activity of four catalysts was in the order of NiCe_{0.2}/C>Ni/C>NiCu_{0.2}/C>NiZn_{0.2}/C, and the NiCe_{0.2}/C catalyst showed maximum catalytic activity for carbonylation of ethanol with the ethanol conversion of 98.0% and the propionic acid selectivity of 95.1% in comparison with other catalysts, but the NiZn_{0.2}/C catalyst showed minimum activity with the ethanol conversion of 83.6% and the propionic acid selectivity of 75.8%. The catalysts were characterized by means of metal dispersion test, XRD, H₂-TPR and CO-TPD. It was found that a certain interaction between ceria and nickel species was confirmed to level the reduction temperature of nickel oxide down, avoiding effectively from bigger nickel crystallites, thereby increasing the metal dispersion of nickel species on the surface of active carbon.

Key words: ethanol; active carbon; vapor-phase carbonylation; additives; propionic acid

丙酸是一种重要的化工原料, 可广泛用于合成树脂、谷物防腐剂、香料中间体及丙酸盐等方面^[1]。目前丙酸的工业生产方法主要来自德国 BASF 公司的 Reppe 工艺, 它以乙烯为原料在羰基镍催化下与一氧化碳和水反应生成丙酸, 反应需在高压(20~

30 MPa)条件下进行且对反应设备防腐要求较高。而采用负载型镍催化剂气相羰化乙醇合成丙酸路线具有转化率高、选择性高、反应条件温和、操作简便及对反应设备要求低等优点已引起国内外研究者的广泛关注^[2-7]。近年来, 由于双金属催化剂较单金属催

收稿日期: 2009-03-20。收修改稿日期: 2009-06-22。

国家重点基础研究发展计划(973 计划, 2004CB217805)和院校重点合作项目(0042-K81009)资助。

*通讯联系人。E-mail: yyquan@xmu.edu.cn

第一作者: 章 青, 男, 29 岁, 博士研究生; 研究方向: 多相催化及催化材料的合成与应用。

化剂具有更优良的活性及选择性,为了进一步改善催化剂的性能,彭峰等^[3]报道了Ni-Zn/C 催化剂上乙醇碳化反应工艺。冯景贤等^[4]报道了Ni-Pb/C 催化剂上乙醇碳化合成丙酸上的催化行为,认为镍与铅之间有协同作用,便于活性组分镍单质的循环。但文献中局限于对乙醇碳化反应的研究,对助剂的作用机理的报道较少。

本工作利用等体积浸渍法制备Ni-M(M=Cu, Zn, Ce)/C 催化剂,重点考察了铜、锌和铈等助剂对催化剂乙醇气相碳化制丙酸活性的影响,利用金属分散度、X射线粉末衍射(XRD)、H₂程序升温还原(H₂-TPR)和CO程序升温脱附(CO-TPD)等手段来研究了不同助剂对活性组分的分散状况、结构特点及其在乙醇气相碳化制丙酸上的催化行为。

1 实验部分

1.1 试 剂

醋酸镍、硝酸铜、硝酸锌、硝酸亚铈、乙醇和碘乙烷均为上海国药集团化学试剂有限公司A.R.级试剂。

1.2 催化剂制备

催化剂采用等体积浸渍的方法制备。按照一定比例取适量的硝酸铜、硝酸锌和硝酸亚铈分别与醋酸镍配制成一定浓度的溶液,并将商用椰壳活性炭(595~841 μm(20~30目))浸渍于上述溶液中24 h,先在70 °C油浴中边搅拌边干燥6 h,然后100 °C干燥12 h,制得相应Ni-M/C 双金属催化剂。不作特别说明时,所制备的Ni-M/C 催化剂中M/Ni 物质的量的比均为0.2,其中镍含量均为5wt%,相应催化剂标记为NiCu_{0.2}/C、NiZn_{0.2}/C 和 NiCe_{0.2}/C。

1.3 催化剂活性评价

活性评价在采用固定床连续流动微型反应器常压下进行,反应管内径22 mm,长50 cm。催化剂装量为4.0 g,反应前在N₂气氛下450 °C焙烧处理2 h,再在H₂气氛下还原4 h后降至反应温度,乙醇和碘乙烷混合液用微量双柱塞进液泵输入到气化炉,与CO充分混合后进入反应器中反应。反应条件:n(CO):n(EtOH):n(EtI)=20:10:1,温度为270 °C,压力为0.1 MPa,空速为2 400 h⁻¹。反应产物采用GC-950型气相色谱仪程序升温分析,HP-Plot/Q毛细管色谱柱,柱长30 m,管径0.53 mm,膜厚40.00 μm,氢火焰检测器检测(检测室温度为200 °C,氮气为载气,分流比为1:10)。催化剂活性以乙醇转化率和丙酸选择性来评价。

1.4 催化剂表征

金属分散度(D)测试:在Micromeritics ASAP 2010型吸附仪上利用双等温线法完成。在吸附测试前,催化剂样品在5%H₂/Ar混合气450 °C还原1 h,在该温度下抽真空1 h,降至室温测定CO吸附体积,按化学计量比n(CO)/n(Ni)=1来计算金属镍分散度。

XRD测试:利用荷兰Phillips公司生产的XPert PRO X射线衍射仪表征焙烧和还原处理的催化剂相结构,激发源为Cu Kα(λ=0.154 056 nm),Ni片滤波,X'celerator探测,工作电流30 mA,工作电压40 kV,测试范围2θ为10°~80°,步长0.016°,每步时间12 s,晶粒大小利用Scherrer公式计算。

H₂-TPR测试:该实验是在自装TPD装置上进行,称取100 mg样品置于U形石英管中,用5%H₂/Ar混合气流经样品,气体流速为20 mL·min⁻¹,以10 °C·min⁻¹的速率程序升温至650 °C,TCD检测器检测H₂量的变化。

CO-TPD测试:该实验是在自装TPD装置上进行,称取100 mg样品置于U形石英管中,先在高纯氦气吹扫下升温至450 °C,通入H₂还原60 min,然后降至室温,在室温条件下吸附CO 60 min,之后再用高纯He气吹扫至热导池信号基线平稳,以高纯He为载气,载气流速30 mL·min⁻¹,以10 °C·min⁻¹的速率程序升温至550 °C,TCD检测器检测脱附CO量的变化。

2 结果与讨论

2.1 催化剂的活性评价

表1为催化剂NiM_{0.2}/C 对乙醇气相碳化的催化活性评价结果及镍的分散度。从表中可以看出,4种催化剂的活性大小顺序为NiCe_{0.2}/C>Ni/C>NiCu_{0.2}/C>NiZn_{0.2}/C,催化剂NiCe_{0.2}/C 的乙醇转化率为98.0%,丙酸选择性为95.1%。该系列催化剂中的镍分散度也有相似的变化规律。这表明了铈的添加有助于镍在活性炭表面均匀分散,使催化剂的乙醇碳化活性得到明显提高,而铜和锌的添加均使得镍的分散度有所降低,进而不同程度地影响了催化剂的乙醇碳化活性。

2.2 XRD 测试结果

为了更好地描述NiM_{0.2}/C 催化剂上的乙醇碳化行为,我们考察了催化剂在经过N₂高温煅烧和H₂还原后的物相及镍晶粒尺寸的变化。图1为氧化态

表 1 $\text{NiM}_{0.2}/\text{C}$ 催化剂的活性评价结果和镍的分散度
Table 1 Catalytic performance of $\text{NiM}_{0.2}/\text{C}$ catalysts^a and nickel metal dispersion

Catalyst	Ethanol Conversion / %	Selectivity / %			$D_{\text{Ni}} / \%$
		EtCOOH	EtCOOEt	Others ^b	
Ni/C	90.7	92.6	5.3	2.1	37.1
$\text{NiCu}_{0.2}/\text{C}$	87.1	86.3	11.5	2.2	36.7
$\text{NiZn}_{0.2}/\text{C}$	83.6	75.8	20.3	3.9	30.8
$\text{NiCe}_{0.2}/\text{C}$	98.0	95.1	4.2	0.7	45.2

^aThe data are collected after 10 h reaction; ^bOthers=Methane+Aether

催化剂 $\text{NiM}_{0.2}/\text{C}$ 的 XRD 图。从图中可以看出,4 种催化剂在 N_2 氮氛围中经过 450 °C 煅烧后, 均在 37.1°、43.2°、62.8° 和 75.4° 出现 NiO 的衍射峰, 与标准卡(PDF No.00-044-1159) 相符合; 催化剂 Ni/C 还在 44.3° 和 51.7° 出现 Ni 的衍射峰, 与标准卡(PDF No.01-089-7128) 相符合, 说明了 4 种催化剂在高温惰性条件下醋酸镍均完全分解成 NiO , 而催化剂 Ni/C 中 NiO 与活性炭之间的相互作用或醋酸根分解产生的 C 促使部分 NiO 还原成单质 Ni。对其他 3 种催化剂而言, 均没有出现单质 Ni 的衍射峰, 这说明了向催化剂 Ni/C 中添加适量的铜、锌和铈均可削弱 C 与 Ni-O 之间的相互作用。对催化剂 $\text{NiCu}_{0.2}/\text{C}$ 来说, 在 32.5°、35.6°、38.8°、48.9°、58.3°、61.6°、66.3°、68.1° 和 75.2° 出现 CuO 的衍射峰, 与标准卡(PDF No.00-045-0937) 相符合, 这说明了硝酸铜在经过高温煅烧后已分解成 CuO ; 对 $\text{NiZn}_{0.2}/\text{C}$ 催化剂来说, 在 31.8°、34.2°、36.3°、47.5°、62.8°、67.9° 和 69.1° 出现 ZnO 的衍射峰, 与标准卡(PDF No.01-080-0075) 相符合, 从图中还可以看出, NiO 和 ZnO 的衍射峰之间发生了部分重叠, 说明了硝酸锌在经过高温煅烧后已分解成 ZnO , 然后与 NiO 之间可能发生了某种作用, 从而引起了衍射峰的重叠。对催化剂 $\text{NiCe}_{0.2}/\text{C}$ 来说, 在 28.2°、33.2°、47.6° 和 56.8° 出现 CeO_2 的衍射峰, 与标准卡(PDF No.03-065-5923) 相符合, 并在 39.5°、43.3°、59.9° 和 68.3° 出现 Ce_2C_3 的衍射峰, 与标准卡(PDF No.00-020-0261) 相符合, 说明了硝酸亚铈在经过高温煅烧后已分解成 CeO_2 , 并部分与载体活性炭或醋酸根分解产生的 C 发生作用生成了 Ce_2C_3 。根据 X 射线峰宽化法计算煅烧后 NiO 晶粒的大小见表 2。

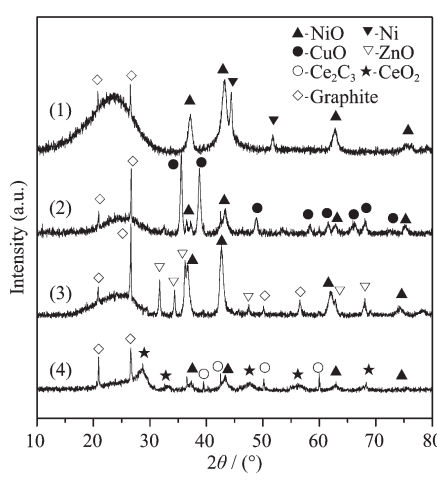
部分重叠, 说明了硝酸锌在经过高温煅烧后已分解成 ZnO , 然后与 NiO 之间可能发生了某种作用, 从而引起了衍射峰的重叠。对催化剂 $\text{NiCe}_{0.2}/\text{C}$ 来说, 在 28.2°、33.2°、47.6° 和 56.8° 出现 CeO_2 的衍射峰, 与标准卡(PDF No.03-065-5923) 相符合, 并在 39.5°、43.3°、59.9° 和 68.3° 出现 Ce_2C_3 的衍射峰, 与标准卡(PDF No.00-020-0261) 相符合, 说明了硝酸亚铈在经过高温煅烧后已分解成 CeO_2 , 并部分与载体活性炭或醋酸根分解产生的 C 发生作用生成了 Ce_2C_3 。根据 X 射线峰宽化法计算煅烧后 NiO 晶粒的大小见表 2。

表 2 $\text{NiM}_{0.2}/\text{C}$ 催化剂氧化态/还原态的晶粒大小
Table 2 Grain size of $\text{NiM}_{0.2}/\text{C}$ catalysts after oxidation or reduction

Catalyst	D_c / nm	
	Oxidized	Reduced
Ni/C	25.6	34.3
$\text{NiCu}_{0.2}/\text{C}$	27.1	41.2
$\text{NiZn}_{0.2}/\text{C}$	47.0	43.9
$\text{NiCe}_{0.2}/\text{C}$	23.5	27.4

从表中可以看出, 晶粒大小顺序为: $\text{NiZn}_{0.2}/\text{C} > \text{NiCu}_{0.2}/\text{C} > \text{Ni/C} > \text{NiCe}_{0.2}/\text{C}$ 。经过高温焙烧后催化剂 $\text{NiCe}_{0.2}/\text{C}$ 中 NiO 晶粒最小, 只有 23.5 nm; 催化剂 $\text{NiZn}_{0.2}/\text{C}$ 中 NiO 晶粒最大, 达到了 47.0 nm, 这说明了添加了 CeO_2 可以有效阻止氧化镍晶粒的长大; 而 CuO 和 ZnO 则没有这个现象发生。

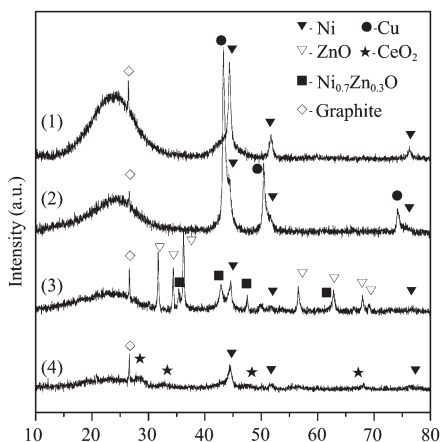
图 2 为还原态催化剂 $\text{NiM}_{0.2}/\text{C}$ 的 XRD 图。从图中可以看出, 催化剂 Ni/C、 $\text{NiCe}_{0.2}/\text{C}$ 和 $\text{NiZn}_{0.2}/\text{C}$ 在经过 H_2 还原后, 均在 44.4°、51.7° 和 76.3° 出现单质 Ni 的衍射峰, 与标准卡(PDF No.01-089-7128) 相符合, 这表明经过 H_2 还原后, 这 3 种催化剂中 NiO 均被还原为单质镍。对催化剂 $\text{NiCu}_{0.2}/\text{C}$ 来说, 在 43.4°、50.5° 和 74.2° 出现单质 Cu 的衍射峰, 与标准卡(PDF No.00-004-0836) 相符合; 在 44.3°、51.7° 和 76.0° 出现



(1) Ni/C; (2) $\text{NiCu}_{0.2}/\text{C}$; (3) $\text{NiZn}_{0.2}/\text{C}$; (4) $\text{NiCe}_{0.2}/\text{C}$

图 1 氧化态催化剂 $\text{NiM}_{0.2}/\text{C}$ 的 XRD 图

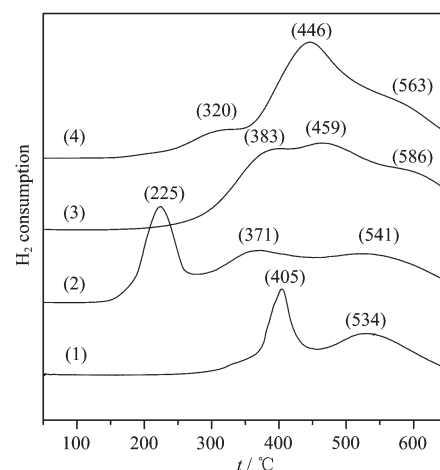
Fig.1 XRD patterns of oxidized $\text{NiM}_{0.2}/\text{C}$ catalysts

(1) Ni/C; (2) NiCu_{0.2}/C; (3) NiZn_{0.2}/C; (4) NiCe_{0.2}/C图2 还原态催化剂 NiM_{0.2}/C 的 XRD 图Fig.2 XRD patterns of reduced NiM_{0.2}/C catalysts

单质镍的衍射峰,与标准卡(PDF No.03-065-0380)相符合,表明经过H₂还原后,CuO和NiO均已被还原。但43.4°的衍射峰比典型纯金属铜的衍射峰高0.1°,44.3°的衍射峰比典型纯金属镍的衍射峰低0.1°,表明富镍合金的形成。这是由于CuO首先被还原成铜晶核,并以某种方式作用与之相邻的NiO晶核,增加了NiO的成核速率,促进了NiO的还原。随着反应的进行,未还原的NiO继续还原,进而形成了镍铜合金^[8,9]。对催化剂NiZn_{0.2}/C来说,在31.8°、34.2°、36.3°、47.5°、62.8°、67.9°和69.1°仍出现ZnO的衍射峰,与标准卡(PDF No.01-080-0075)相符合;在36.9°、42.8°和62.2°出现了新物种Ni_{0.7}Zn_{0.3}O的衍射峰,与标准卡(PDF No.01-075-0272)相符合,且未发现单质锌的衍射峰,这说明了ZnO晶粒在实验条件下很难被H₂还原,由于Ni(*r*_{Ni²⁺}=0.069 nm)与Zn(*r*_{Zn²⁺}=0.074 nm)具有相近的离子半径,能进入ZnO的晶格中并形成Ni_{0.7}Zn_{0.3}O晶相。对催化剂NiCe_{0.2}/C来说,在28.2°、33.2°、47.6°和56.8°仍出现CeO₂的衍射峰,与标准卡(PDF No.03-065-5923)相符合,这说明CeO₂在450 °C氢气氛围中具有较强的稳定性而不被H₂所还原。催化剂经H₂还原后,镍晶粒均相应变大(除催化剂NiZn_{0.2}/C外,见表2),其中催化剂NiCe_{0.2}/C中镍晶粒最小,催化剂NiCu_{0.2}/C中镍晶粒最大,这是由于形成了镍铜合金的缘故。而对催化剂NiZn_{0.2}/C来说,经H₂还原后,部分镍晶粒进入ZnO晶格中,使得镍晶粒有所减小。

2.4 H₂-TPR 测试结果

图3为催化剂NiM_{0.2}/C的H₂-TPR的结果。对催

(1) Ni/C; (2) NiCu_{0.2}/C; (3) NiZn_{0.2}/C; (4) NiCe_{0.2}/C图3 催化剂 NiM_{0.2}/C 的 H₂-TPR 曲线Fig.3 H₂-TPR profiles of NiM_{0.2}/C catalysts

化剂Ni/C来说,405 °C的还原峰和534 °C的还原峰分别对应表相NiO和体相NiO的还原过程。对催化剂NiCu_{0.2}/C来说,谱中有3个还原峰,225 °C的低温还原峰可归属于氧化铜的Cu²⁺还原为Cu⁰的过程^[10,11],371 °C的还原峰可认为是表相NiO的还原,但541 °C的还原峰比体相NiO的还原峰(534 °C)要高,可能是因为形成了镍铜合金的缘故,这与XRD结果相一致。对催化剂NiZn_{0.2}/C来说,383 °C的还原峰可认为是表相NiO的还原,459 °C的还原峰可归属于Ni_{0.7}Zn_{0.3}O的还原过程。一般ZnO在较低温度下不被还原,在高于550 °C可被H₂还原,586 °C的高温还原峰可归属于ZnO的还原过程^[12]。对催化剂NiCe_{0.2}/C来说,320 °C的还原峰和446 °C的还原峰分别对应表相NiO和体相NiO的还原过程,与Ni/C相比,其NiO的表相和体相还原峰温分别向低温区移动了85和88 °C。Giordano等^[13]和Ratnasamy等^[14]认为CeO₂在540 °C可发生表相还原,840 °C可发生体相还原,故563 °C的高温还原峰可归属于CeO₂的表相还原。此即表明,向催化剂Ni/C中添加适量的CeO₂、ZnO和CuO,均使得NiO的表相还原峰温向低温区移动,且这种移动幅度按CeO₂>CuO>ZnO顺序递减,即CeO₂最容易使NiO还原为单质镍,CuO次之,ZnO再次之。Kašpar等^[15]将CeO₂添加到汽车尾气催化剂中时发现,它可以通过与贵金属之间的相互作用而阻止贵金属颗粒的烧结,提高其热稳定性。在本工作中,镍铈之间可能也存在类似的协同作用。从图4还可以看到,向催化剂Ni/C中添加CeO₂后TPR峰面积明显增加,这表明CeO₂不仅能促进

催化剂中 Ni 物种的还原,还可以增加催化剂的活性组分数量,这与文献的结果相一致^[16]。

2.3 CO-TPD 测试结果

图 4 为催化剂 $\text{NiM}_{0.2}/\text{C}$ 的 CO-TPD 曲线。从图中可以看出,在室温至 550 °C 范围内存在 3 类 CO 脱附峰: α 峰为 60~150 °C, β 峰为 240~340 °C, γ 峰为 410~470 °C。催化剂的低温 α 脱附峰按 $\text{NiCu}_{0.2}/\text{C} < \text{NiZn}_{0.2}/\text{C} < \text{NiCe}_{0.2}/\text{C} < \text{Ni/C}$ 的顺序上升,且峰逐渐宽化, α 峰峰温很低属 CO 的物理吸附,在碳化反应条件(270 °C)下不起碳化反应作用;高温 γ 脱附峰对 CO 脱附量的大小顺序: $\text{NiCe}_{0.2}/\text{C} > \text{Ni/C} > \text{NiCu}_{0.2}/\text{C} > \text{NiZn}_{0.2}/\text{C}$,此 γ 峰对 CO 吸附太强,对碳化反应贡献不大。 β 脱附峰的大小顺序: $\text{NiCe}_{0.2}/\text{C} > \text{Ni/C} > \text{NiZn}_{0.2}/\text{C} > \text{NiCu}_{0.2}/\text{C}$,其脱附温度与碳化反应温度相近,是乙醇碳基化的活性中心位。与其他 3 种催化剂相比,催化剂 $\text{NiCu}_{0.2}/\text{C}$ 的 β 脱附峰峰面积最小,这是由于镍铜合金的形成减少了活性位 Ni^0 的数量和铜离子的给电子能力相对较低,且对 CO 的吸附能力不强,造成催化剂的活性有所降低。而催化剂 $\text{NiCe}_{0.2}/\text{C}$ 中的 β 脱附峰峰面积最大,峰温为 265 °C,这是由于 Ce 增强了镍物种对电子受体 CO 的吸附,并削弱了 C-O 键,提升了其与乙醇反应的能力,使催化剂 $\text{NiCe}_{0.2}/\text{C}$ 的乙醇碳化活性明显提高。

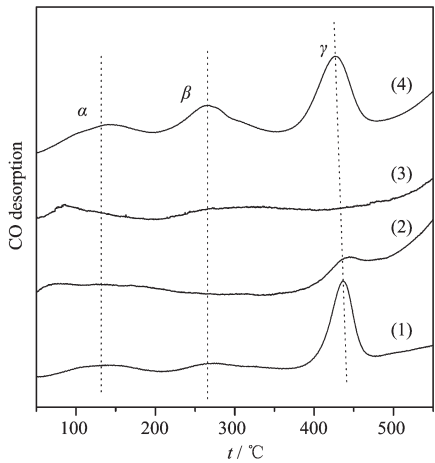


图 4 催化剂 $\text{NiM}_{0.2}/\text{C}$ 的 CO-TPD 曲线

Fig.4 CO-TPD profiles of $\text{NiM}_{0.2}/\text{C}$ catalysts

3 结 论

对乙醇气相碳化合成丙酸反应来说,在所制备的 4 种催化剂中, $\text{NiCe}_{0.2}/\text{C}$ 的乙醇转化率和丙酸选择性均为最高,相应为 98.0% 和 95.1%。由金属分散度

结果可知,铈有利于改善镍在活性炭表面的分散性,而铜和锌则不能。XRD 和 H_2 -TPR 结果表明,铈能有效抑制镍晶粒的长大,与镍物种之间存在协同作用,能促进镍物种的还原,还可以增加活性组分数量,而铜和锌能与镍形成相应的合金复合物,导致活性组分的数量有所降低。再结合 CO-TPD 结果,铜和锌对镍物种上 CO 的吸附没有明显的促进作用,而 Ce 可以增强镍物种对 CO 的吸附,并能够削弱 C-O 键,利于其与乙醇反应,进而提高催化剂的碳化活性。

参 考 文 献 :

- [1] Patil R P, Kelkar A A, Chaudhari R V. *J. Mol. Catal.*, **1992**, **72**(2):153~165
- [2] DENG Xiang-Gui(邓祥贵), LI Zhao-Ji(李兆基), WU Ling (吴棱). *Chin. J. Catal.(Cuihua Xuebao)*, **1991**, **12**(6):439~442
- [3] PENG Feng(彭峰), HUANG Zhong-Tao(黄仲涛). *Chin. J. Catal.(Cuihua Xuebao)*, **1996**, **17**(3):197~201
- [4] FENG Jing-Xian(冯景贤), WANG Da-Wei(王大为), HUANG Zhong-Tao(黄仲涛). *Chin. J. Mol. Catal. (Fenzi Cuihua)*, **1998**, **12**(1):15~18
- [5] Souma Y, Tsumori N, Willner H, et al. *J. Mol. Catal: Chem.*, **2002**, **189**(1):67~77
- [6] Sarkar B R, Chaudhari R V. *Catal. Surv. Asia*, **2005**, **9**(3):193~205
- [7] Zhang Q, Wang H F, Sun G S, et al. *J. Nat. Gas Chem.*, **2008**, **17**(4):355~358
- [8] Lee J H, Lee E G, Jung K D, et al. *Appl. Catal. A:Gen.*, **2004**, **269**(1~2):1~6
- [9] Bonet F, Grugeon S, Dupont L, et al. *J. Solid State Chem.*, **2003**, **172**(1):111~115
- [10] Zimmer P, Tschöpe A, Birringer R. *J. Catal.*, **2002**, **205**(2):339~345
- [11] Avgouropoulos G, Ioannides T. *Appl. Catal. A: Gen.*, **2003**, **244**(1):155~167
- [12] Velu S, Suzuki K, Okazaki M, et al. *J. Catal.*, **2000**, **194**(2):373~384
- [13] Giordano F, Trovarelli A, Giona M, et al. *J. Catal.*, **2000**, **193**(2):273~282
- [14] Ratnasamy P, Srinivas D, Manikandan P, et al. *J. Catal.*, **2004**, **221**(2):455~465
- [15] Kašpar J, Fornasiero P, Grazian M. *Catal. Today*, **1999**, **50**(2):285~298
- [16] Tomishige K, Kimura T, Nishikawa J, et al. *Catal. Commun.*, **2007**, **8**(7):1074~1079